

12. Яновский Е. Ш. Предполагаемые тормозящие нейроны слуховой коры кошки.— Нейрофизиология, 1984, 16, № 1, с. 132—135.
13. Andersen P., Dingledine R., Gjerstad L. et al. Two different responses of hippocampal pyramidal cells to application of gamma-amino butyric acid.— J. Physiol., Gr. Brit., 1980, 305, N 3, p. 279—296.
14. Deschénes M., Hammond C. Physiological and morphological identification of ventrolateral fibers relating cerebellar information to the cat motor cortex.— Neuroscience, 1980, 5, N 7, p. 1137—1141.
15. Palay S. L., Soleto C., Peters A., Orkand P. M. The axon hillock and the initial segment.— J. Cell. Biol., 1968, 38, N 2, p. 193—201.
16. Peters A., Proskauer C. C., Kaiserman-Abramof J. R. The small pyramidal neuron of the rat cerebral cortex: the axon hillock and initial segment.— Ibid., 39, N 3, p. 604—619.
17. Purpura D. P., Desiraju T., Prelević S., Santini M. Excitability changes in dendrites of thalamic neurons during prolonged synaptic activation.— Brain Res., 1968, 10, N 3, p. 457—459.
18. Reinoso-Suárez F. Topographisher Hirnatlas der Katze für Experimental-Physiologische Untersuchungen.— Darmstadt: Merek, 1961.— 75 p.
19. Somogyi P. A specific «axo-axonal» interneuron in the visual cortex of the rat.— Brain Res., 1977, 136, N 2, p. 345—350.
20. Stefanis C., Jasper H. Recurrent collateral inhibition in pyramidal tract neurons.— J. Neurophysiol., 1964, 24, N 5, p. 855—877.
21. Szentagothai J. Synaptology of the visual cortex.— In: Handbook of sensory physiology. Berlin: Springer-Verlag, 1973, p. 269—325.

Поступила 31.01.84

Ин-т физиологии им. А. А. Богомольца
АН УССР, Киев

УДК 612.826:612.85

Г. М. Груздев, Р. Р. Великая

РЕАКЦИИ НЕЙРОНОВ НЕОСТРИАТУМА НА СЛОЖНЫЕ ЗВУКОВЫЕ СИГНАЛЫ

Исследования последних лет показали, что неостриатум не только несет ответственность за регуляцию двигательных актов, но и наряду с другими образованиями мозга участвует в сложных процессах восприятия сенсорных сигналов [12]. Однако при изучении способности каудатных нейронов реагировать на звуковые раздражители использовались, в основном, простые стимулы, такие как щелчок, тональные посылки и др. [7, 13, 22], которые не несут сами по себе биологической информации. Вместе с тем исследования, проведенные на коре головного мозга млекопитающих, показали, что для оценки участия того или иного образования в процессе восприятия биологически полезной информации более адекватным является тестирование естественными раздражителями — видоспецифическими вокализациями, имеющими определенную частотно-модулированную структуру. Известны данные об избирательном характере реагирования на различные вокализационные сигналы нейронов фронтальной коры у обезьян [18, 19], кошек [10; 11] и морских свинок [15]. Существует мнение [4], что процесс опознания сложных биологических сигналов в целом, как «образа», связан в основном с ассоциативными структурами мозга.

Поскольку неостриатум имеет тесные анатомические связи и морфологическое сходство с ассоциативной корой [2, 17], можно предположить, что это образование также участвует в оценке сенсорных сигналов, имеющих определенное информационное значение. В связи с этим в данной работе была поставлена задача исследовать особенности отражения коммуникационных сигналов кошек и других видоспецифических вокализаций в нейронной активности неостриатума. Для сравнения аналогичные исследования проведены на нейронах ассоциативной коры — передней латеральной извилине [поля 53 и 1], участвующей в обработке слуховой информации [4, 16].

Опыты проведены на 6 (40 мг/кг нембутала внутрибрюшно) крысах, в которых винты и двух симметрических проекции хвостатых ядер были установлены на 7—10 дней после операции у крысы. Программа состояла из 10 раз с частотой 1 в 4 с. Интенсивность активности с помощью дискриминатора-формирователя была установлена на один из дорожек магнитных дорожек, по одной из которых звуковая посылка фиксировалась на вакуум-каскад четырехканальном спектрометре. Графики текущих изменений вокализаций строили по 10 пробам. Такие графики изображают 47 нейронов хвостатого ядра. Использование всех раздражителей было выполнено частично. Аналогично включалось и выключалось.

Анализ применяемых вокализаций «БЭСМ-6» по специальной программе синтеза слуховых образов показал, что в данной работе рисунках спектрометра изображены с графиками текущих изменений вокализаций таким образом, что на графиках можно определить, какая реакция на него и определяется только к величине реакций. Каждый момент времени слева от каждого изображения соответствует одному из 47 нейронов хвостатого ядра. Использование всех раздражителей было выполнено частично. Аналогично включалось и выключалось.

Из 47 проанализированных (т. е. менее 7 %) не удалось определить реакции на применяемых раздражителях. Остальные 40 нейронов реагировали с различной интенсивностью и различной частотой.

Все применяемые вокализации можно разделить на две группы: первая группа — короткие сигналы, вторая — длинные сигналы. Длинные сигналы значительной длительности до 800 мс, включают в себя компоненты со значением частоты — до 2 кГц.

В группу коротких сигналов входят птицы, собаки и мяука.

Физиол. журн., 1985, т. 31, № 4

Методика

Опыты проведены на 6 кошках массой 3,5—3,8 кг. Животным под наркозом (40 мг/кг нембутала внутрибрюшинно) производили операцию вживления в череп фиксирующих винтов и двух симметричных колодцев над трепанационными отверстиями в местах проекции хвостатых ядер на конвекситальную поверхность черепа по [5]. Через 7—10 дней после операции у бодрствующих животных, фиксированных в стереотаксическом аппарате, через колодцы осуществляли транскортикальный поиск нейронов в хвостатом ядре и регистрацию их реакций на сложные звуковые сигналы видоспецифического характера. Программа видоспецифических вокализаций состояла из 10 различных типов сложных сигналов, воспроизводимых с помощью магнитофона «Яуза» через выносной громкоговоритель, расположенный по центру на расстоянии 100 см над головой животного. В состав программы входили следующие вокализации: мяуканье, писк крысы, песня доминантного кота, крик воробья, вой кота, писк котенка, шипенье, рычание кота, песня субдоминантного кота, лай собаки. Каждый сигнал воспроизводили 10 раз с частотой 1 в 4 с. Интервал между такими сериями сигналов составлял 60 с. Нейронную активность с помощью усилителей УПТ-1 и УБП-1-02 подавали через дискриминатор-формирователь импульсов на вход магнитографа РМЧ-4 и регистрировали на одну из дорожек магнитной ленты. Звуковой сигнал фиксировали на двух других дорожках, по одной из которых производилась натуральная запись сигнала, а по другой звуковая посылка фиксировалась в виде одиночного импульса, маркировавшего начало вокализации. Для дальнейшего анализа записи с магнитной ленты подавали на конечный каскад четырехканального чернилоизлучающего энцефалографа. В последующем строили графики текущей частоты активности нейронов хвостатого ядра, усредненные по 10 пробам. Такие графики при применении различных вокализаций построены для 47 нейронов хвостатого ядра. Исследования по всей программе полностью с предъявлением всех раздражителей удалось провести на 11 нейронах, на остальных программа выполнена частично. Аналогичные исследования проведены на 28 нейронах ассоциативной коры.

Анализ применяемых вокализационных сигналов проводили с помощью ЭВМ «БЭСМ-6» по специальной программе, разработанной в лаборатории распознавания и синтеза слуховых образов Института кибернетики АН УССР [6]. На представленных в данной работе рисунках спектрограммы вокализаций, полученных с помощью ЭВМ, совмещены с графиками текущей частоты активности исследованных нейронов при применении вокализаций таким образом, что начало звукового сигнала совпадает с нулем на графиках. Следовательно, значения на оси абсцисс являются общими для сигнала и реакций на него и определяют их длительность; значения же по оси ординат относятся только к величине реакций. Для определения частотных характеристик сигнала в каждый момент времени слева от оси ординат приведена шкала значений в кГц. Визуально наиболее энергетически выраженные максимумы воспринимаются наиболее темными.

Результаты

Из 47 проанализированных нейронов хвостатого ядра только у трех (т. е. менее 7 %) не удалось выявить реакции хотя бы на один из серии применяемых раздражителей. У четырех других нейронов обнаружена очень избирательная реакция лишь на один из десяти вокализационных сигналов. Остальные нейроны отвечали примерно на 2—5 сигналов реакциями фазического и тонического типа в зависимости от особенностей предъявляемых вокализаций.

Все применяемые вокализации характеризуются сложной структурой: многокомпонентностью спектра, нестационарностью частоты и амплитуды. Хотя физические характеристики различных вокализационных сигналов значительно варьируют, все же условно их можно разделить на две группы: первая группа — относительно короткие сигналы, длительностью до 800 мс, в спектральном составе которых наблюдаются компоненты со значением более 2 кГц, и вторая группа — длительные сигналы, в пределах 1000—2500 мс, преимущественно более низкой частоты — до 2 кГц.

В группу коротких сигналов включены вокализации котенка, крысы, птицы, собаки и мяуканье кошки. Для реакции нейронов хвостато-

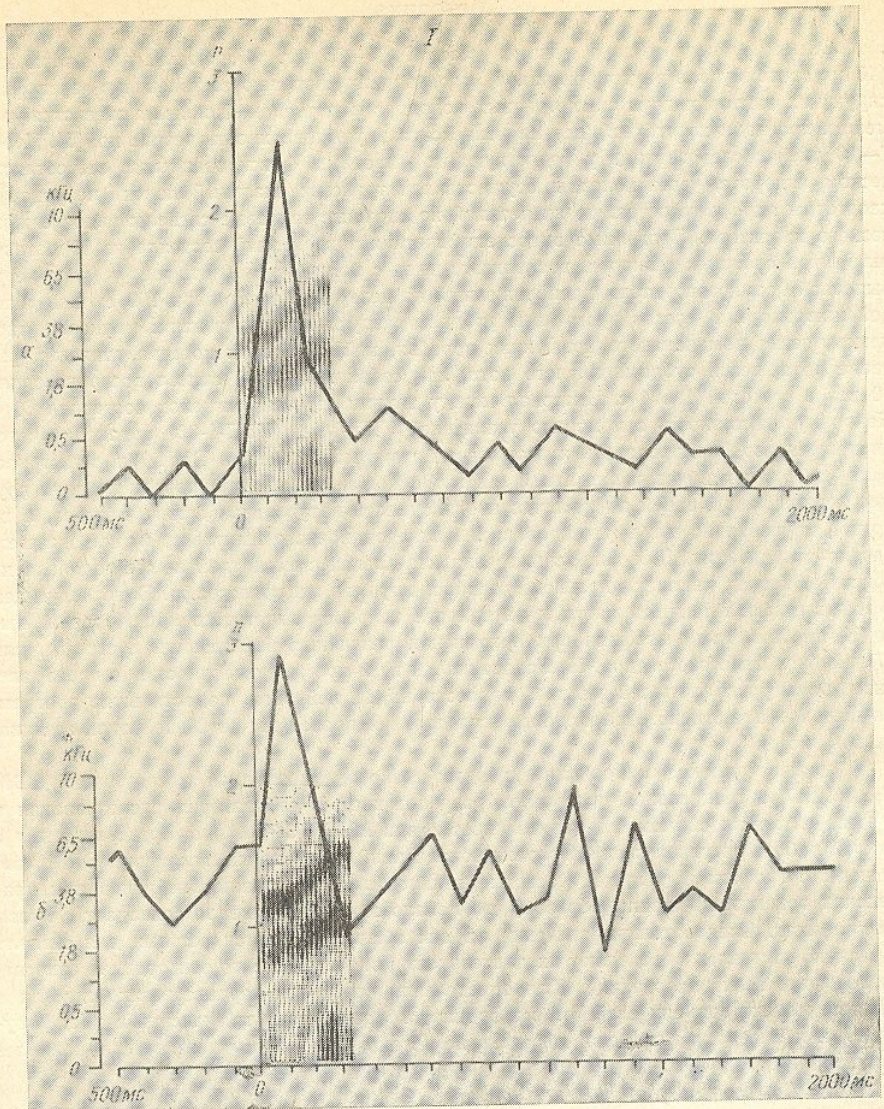
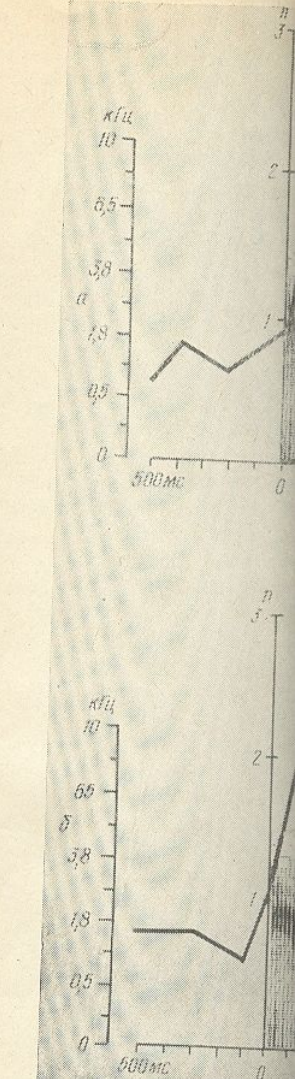


Рис. 1. Реакции нейронов неостриатума и ассоциативной коры на короткие вокализационные сигналы (см. продолжение).
 I — птицы, II — котенка, III — кошки, а — нейроны неостриатума; б — нейроны ассоциативной коры. Графики текущей частоты активности нейронов совмещены со спектрограммами вокализационных сигналов. По горизонтали — время; по вертикали — количество импульсов, усредненное по 10 пробам. Слева от вертикали — шкала значений частот для спектрограммы. п — количество импульсов.

го ядра на сигналы этой группы характерно наличие хорошо выраженного фазического компонента, синхронного с началом вокализации. Наиболее высокочастотным и коротким из этой группы сигналов является крик птицы. Сигнал имеет выраженную двухкомпонентную структуру и характеризуется постепенным повышением частоты. На эту вокализацию нейроны неостриатума реагировали преимущественно в начале предъявления сигнала (в первые 200 мс), что соответствовало частоте звукового сигнала в области 3 кГц. Сигнал вызывал такого типа реакции у 9 нейронов неостриатума (из 38 исследованных) и у 8 (из 21) нейронов ассоциативной коры. В качестве примера на рис. 1, I и III представлены реакции одного нейрона хвостатого ядра и одного нейрона ассоциативной коры на этот сигнал. На рисунке видно, что более высокочастотная составляющая данной вокализации (около 6 кГц)



коррелирует с уменьшающимся всплеском спектра. Появление реакций наблюдается вне его спектра.

Другой сигнал данного ядра характеризуется по основному энергетическому спектру, однако, так же как и частоте, близкой к 3 кГц, в основном имели хорошо выраженный синхронный сдвиг, начинаясь с момента предъявления. Наблюдалась также повышение частоты 1,8 кГц, которых случаев наблюдалось следов реакции. Сигнал обнаружен у 5 нейронов ассоциативной коры.

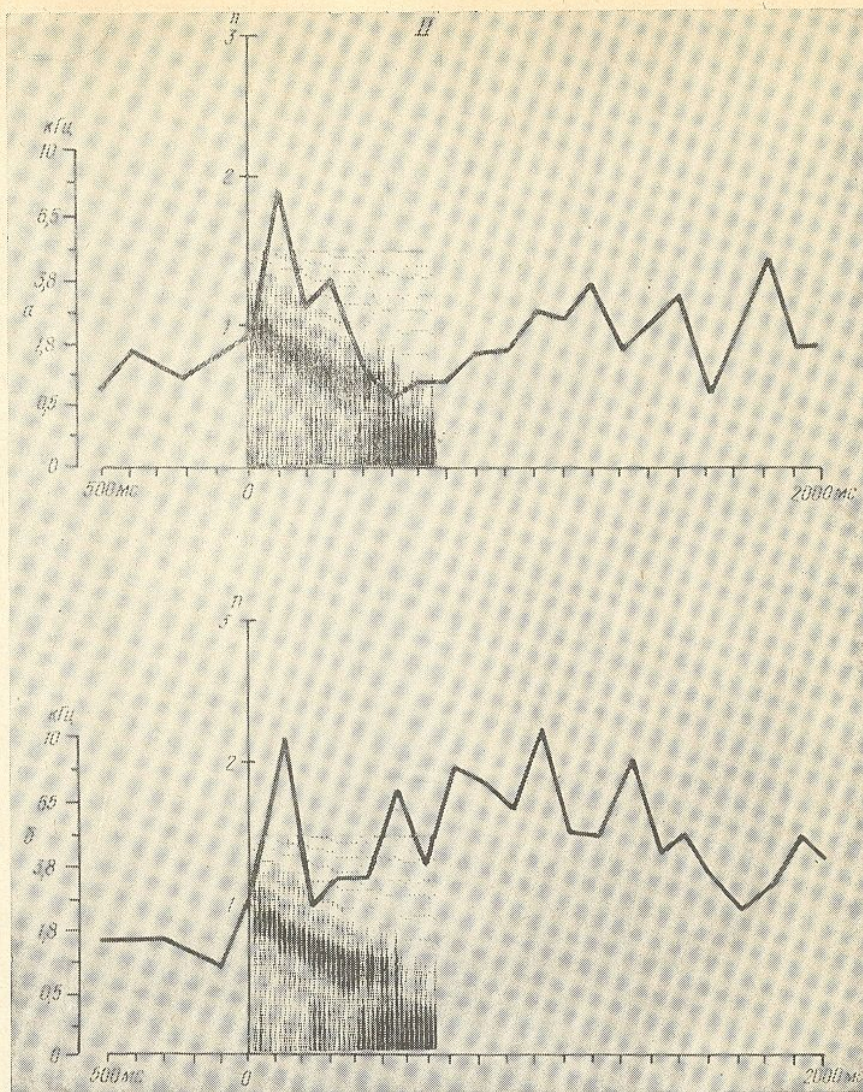


Рис. 1. Продолжение.

коррелирует с уменьшением активации нейрона и, по-видимому, находится вне его спектральной чувствительности. В некоторых случаях появление реакций наблюдалось уже после окончания сигнала.

Другой сигнал данной группы — писк котенка, в отличие от первого характеризуется постепенным понижением во времени частоты основного энергетически наиболее выраженного компонента, начала которого, однако, так же, как и в предыдущем случае, соответствует частоте, близкой к 3 кГц. Реакции нейронов на этот сигнал также в основном имели хорошо выраженный фазический компонент, синхронизированный с началом сигнала. На рис. 1, II видно, что реакции более растянуты во времени соответственно временной структуре сигнала. Наблюдается также повышение активности в середине сигнала (соответствует частоте 1,8 кГц) и в конце его (0,8 кГц). Кроме того, в некоторых случаях наблюдалось длительное последействие и воспроизведение следов реакции через некоторое время после прекращения сигнала (в данном случае через 2—2,5 с). Физические реакции на этот сигнал обнаружены у 5 (из 22) нейронов неостриатума и у 6 (из 10) нейронов ассоциативной коры.

е вокализации
ативной коры,
ализационных
по 10 пробам.
импульсов.

выражен-
кализации.
лов явля-
ную струк-
и. На эту
ественно в
тествовало
зл такого
ых) и у 8
на рис. 1, I
ного нейро-
что более
до 6 кГц)

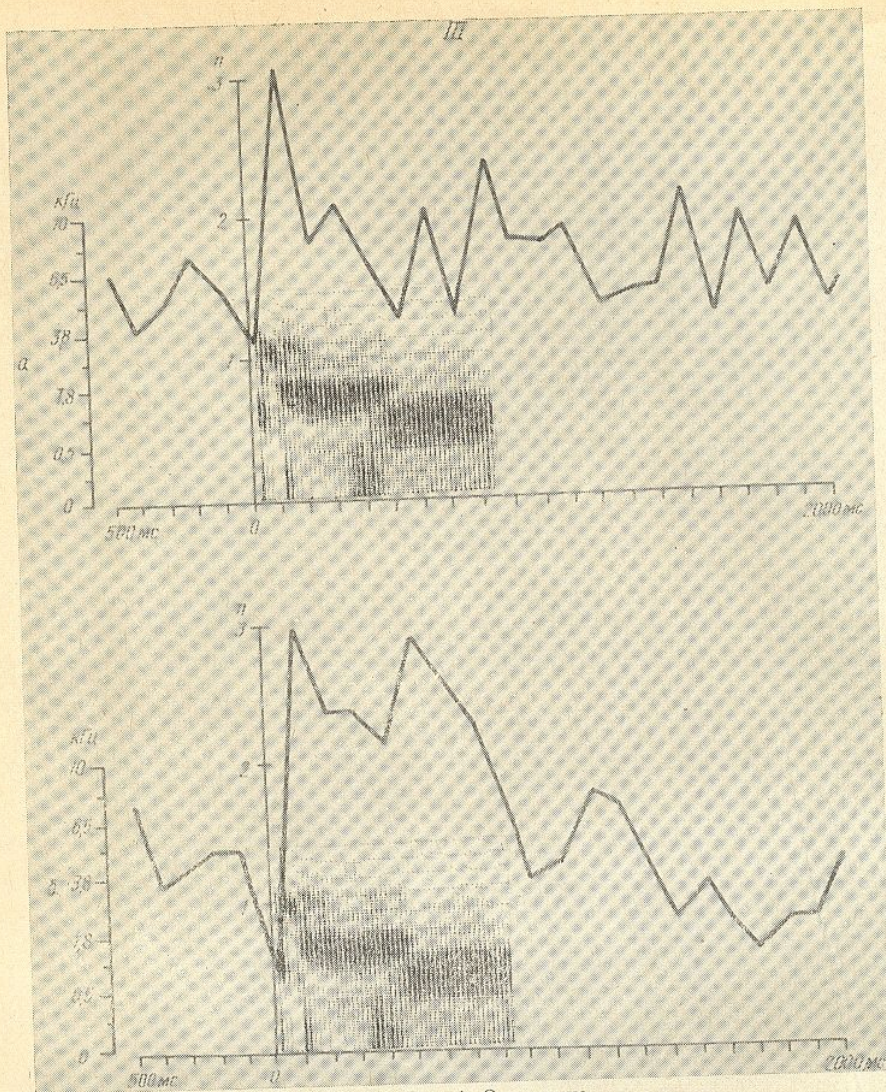


Рис. 1. Окончание.

Структура сигнала «мяу» характеризуется тремя энергетически выраженным компонентами: 1 — максимальная частота превышает 3 кГц, длительность 75 мс; 2 — верхняя частотная граница 1,8 кГц, длительность 330 мс; 3 — максимальная частота 1 кГц, длительность 330 мс. Фазические реакции на этот сигнал обнаружены у 9 (из 47) нейронов неостриатума и у 4 (из 28) нейронов ассоциативной коры. Однако распределение их во времени различно у разных нейронов коррелирует с различными компонентами сигнала. Наблюдалась активация нейрона, синхронизированная с первым, вторым или третьим компонентом (рис. 1, III), а также возникающая в конце сигнала. Характерной особенностью этих реакций, так же, как и реакций на другие сигналы, является длительное последействие: периодически возникающее возбуждение нейрона в течение длительного времени после прекращения сигнала.

В группу длительных сигналов включены вокализации доминантного кота, субдоминантного кота, вой и рычание кота. Вокализация доминантного кота — многокомпонентный сигнал, длительностью 1250 мс, отличается сложной амплитудной и частотной модуляцией. Реакции нейронов хвостатого ядра и коры на этот сигнал также ха-

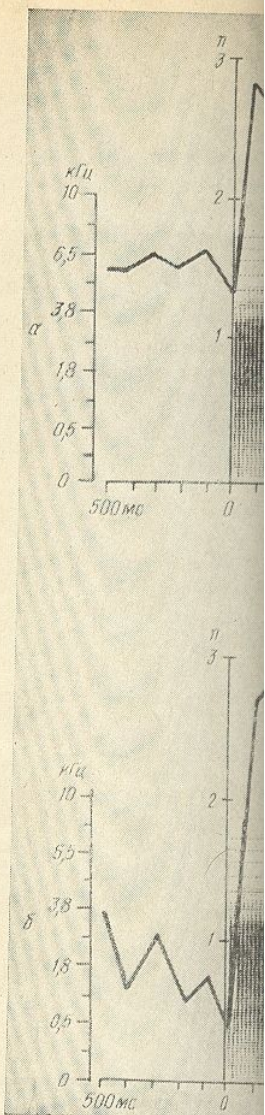


Рис. 2. Реакции нейронов на звуки песни доминантного кота, I, II, III.

рактеризуются большой религиозной со структурой небольшое количество нейронов в коре) с выраженным видимому, это связано сигналов данной группы что определяет некоторый. Частота остальных длительностью более 2 с случае не наблюдалось правило, конфигурация путе и длительности сигнала кота имеет сложную характеристику, в спектральном соста-

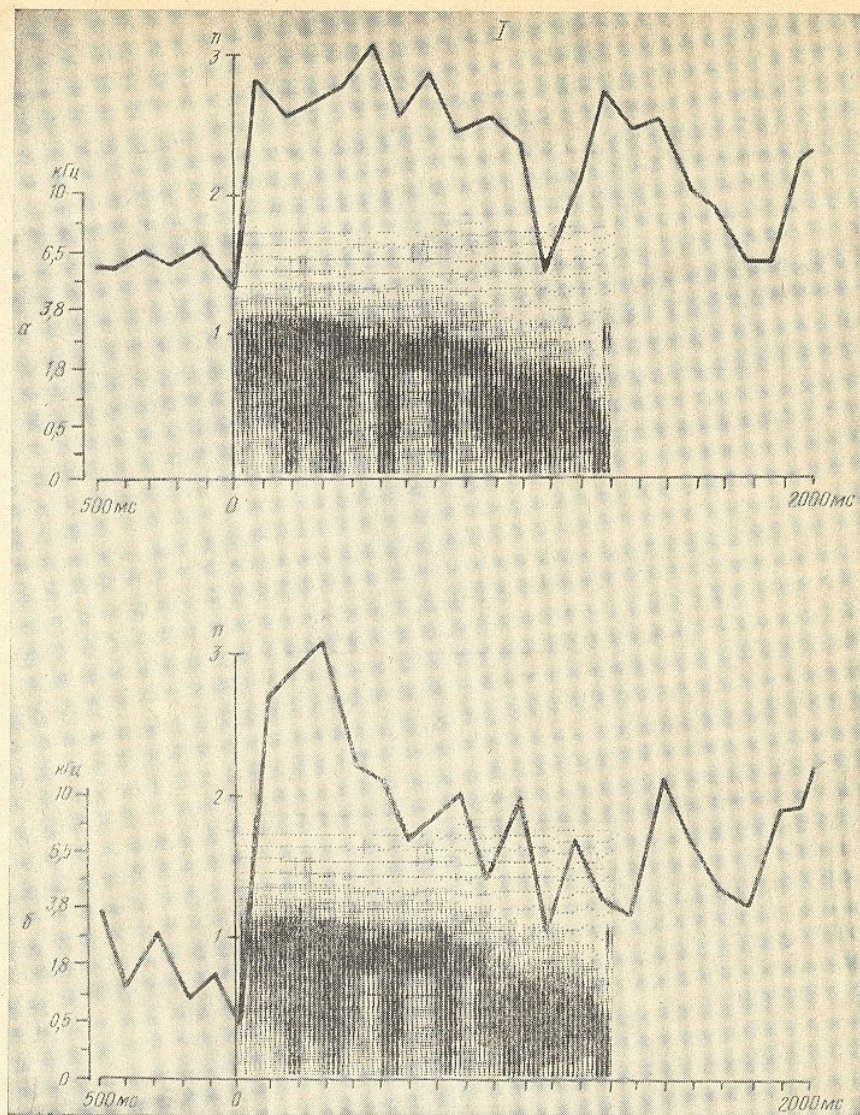


Рис. 2. Реакции нейронов неостриатума и ассоциативной коры на длительные вокализационные сигналы (см. продолжение).
I — песня доминантного кота, II — песня субдоминантного, III — рычание кота. Обозначения см. рис. 1.

рактеризуются большой длительностью и сложной конфигурацией, коррелирующей со структурой сигнала (рис. 2, I). Однако обнаружено небольшое количество нейронов (3 нейрона в хвостатом ядре и 2 нейрона в коре) с выраженной фазической реакцией на этот сигнал. По-видимому, это связано с тем, что этот сигнал в отличие от других сигналов данной группы имеет начальный компонент с частотой 3,2 кГц, что определяет некоторое сходство его с раздражителями первой группы. Частота остальных сигналов данной группы не превышает 2 кГц, длительностью более 2 с. При предъявлении этих сигналов ни в одном случае не наблюдалась коротколатентные фазические реакции. Как правило, конфигурация реакций соответствовала низкочастотной структуре и длительности сигналов. Например, вокализация субдоминантного кота имеет сложную частотно-амплитудную модулированную структуру, в спектральном составе нет частот, превышающих 2 кГц, длитель-

ки вы-
3 кГц,
итель-
30 мс.
ронов
о рас-
рушает с
йрона,
ментом
ой осо-
гнайы,
е воз-
ащения

инант-
изация
ностью
лящней.
же ха-

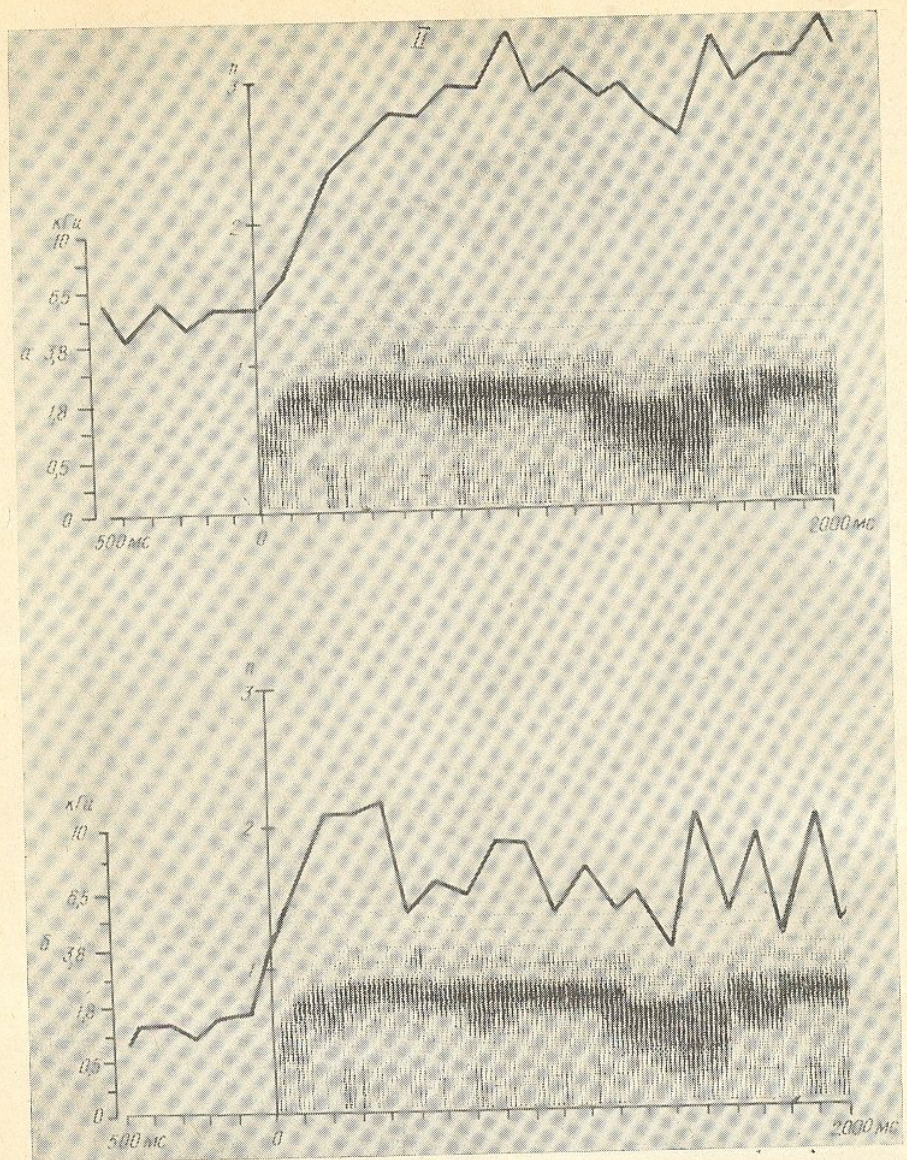


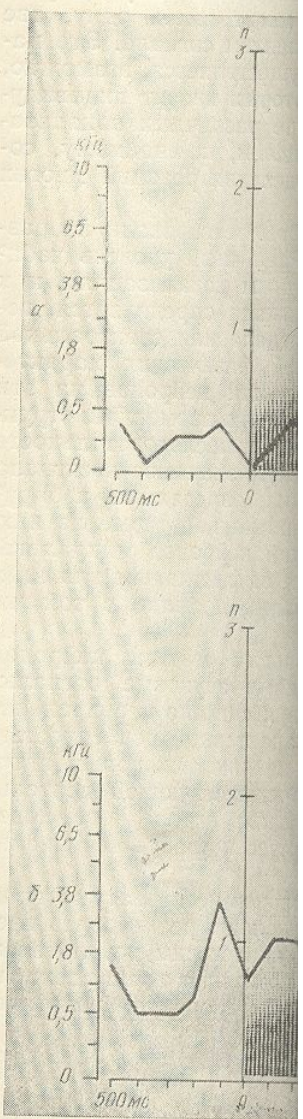
Рис. 2. Продолжение.

ность 2300 мс. Реакции нейронов на этот сигнал имеют тонический характер, соответствующий структуре сигнала: перепад частоты в области 1100—1500 мс находит отражение в уменьшении активации нейрона в этот период (рис. 2, II). Тонические реакции такого типа с длительным последействием регистрировали в ответ и на другие сигналы данной группы. В некоторых случаях усиление активности нейронов наблюдалось в конце предъявления сигнала и продолжалось после его прекращения (рис. 2, III).

Отмеченные особенности реагирования нейронов неостриатума и ассоциативной коры на короткие и длительные сигналы можно было наблюдать при регистрации активности одного и того же нейрона. Например, на представленных рисунках реакции на сигнал «мяу» и вокализацию кота зарегистрированы у одного нейрона неостриатума (рис. 1, III и 2, I). В первом случае реакция имеет физический характер, во втором — тонический. Такой же характер активности сохраняется после прекращения сигнала.

Физиол. журн., 1985, т. 31, № 4

Подводя итог приведено наличие определенной вокализационных сигналов, ассоциативной коры и хронизированные с начальной короткие высокочастотные частотные раздражители структуру сигнала. Несмотря на доминантного кота, в находящиеся в области 3 кГц сигналы выявляются фазы, что частота в области 3 кГц неостриатума и ассоциативной коры, что и на эту частоту только небольшой части



Физиол. журн., 1985, т. 31, № 4

Обсуждение результатов

Подводя итог приведенным данным, можно прийти к заключению о наличии определенной корреляции между структурой предъявляемых вокализационных сигналов и характером реакций нейронов неостриатума и ассоциативной коры на эти сигналы. Физические реакции, синхронизированные с началом вокализации, наблюдались в основном на короткие высокочастотные сигналы. Реакции же на длительные низкочастотные раздражители имели тонический характер, отражающий структуру сигнала. Несколько отличается от этих вокализаций сигнал доминантного кота, в начальной части которой имеются частоты, лежащие в области 3 кГц, и соответственно в ответах нейронов на этот сигнал выявляется физический компонент. Таким образом, можно думать, что частота в области 3 кГц является предпочтительной для нейронов неостриатума и ассоциативной коры. Однако следует иметь в виду, что и на эту частоту наблюдалось избирательное реагирование только небольшой части исследованных нейронов.

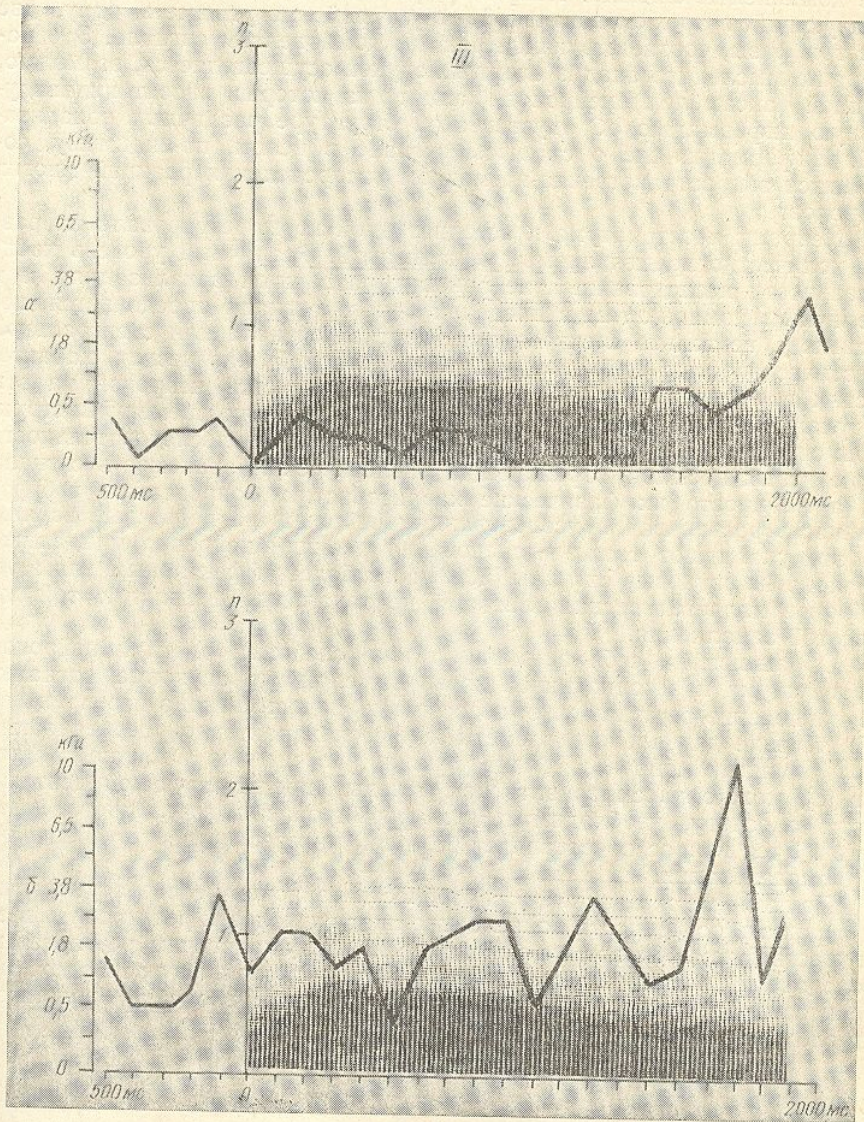


Рис. 2. Окончание.

В реакциях нейронов хвостатого ядра и ассоциативной коры выявляются также компоненты, синхронизированные с другими частотами заполнения тональных посылок: в области, близкой к 0,8 и 1,6 кГц. Известно, что нейроны сенсомоторной коры имеют характеристические частоты, близкие по значению частотам 0,8; 1,6 и 3,2 кГц [11]. Характеристические частоты таламических нейронов МКТ лежат в области 1,8 кГц [15]. Частотный анализ коммуникационных сигналов кошек в обычных для них условиях обитания показал, что области вблизи 0,8; 1,6 и 3,2 кГц являются энергетически наиболее выраженным в специфических для звуковых сигналов кошек [9] и, по мнению некоторых авторов [11], являются значимыми признаками биологически сложных звуковых раздражителей.

В некоторых сигналах, использованных в настоящей работе, индивидуальные энергетически выраженные компоненты четко разделены. В реакциях каудатных нейронов и нейронов ассоциативной коры на такие сигналы отражаются фрагменты сложных звуков, причем у разных нейронов наблюдается избирательное реагирование на определенные компоненты сигнала. Например, реакции на сигнал «мяу», характеризующийся трехкомпонентной структурой, могут иметь одну, две или три фазы, соответствующие разным компонентам сигнала. Это находит на мысль, что анализ сложных звуков осуществляется, возможно, группой (ансамблем) нейронов, каждый из которых вносит индивидуальную информацию об акустической структуре различных вокализаций. Информация же о сложном сигнале в целом, по-видимому, сохраняется в пространственно-временном распределении реакций многих нейронов.

Нейроны неоэstriатума и ассоциативной коры реагировали на разное количество предъявляемых вокализаций. Различный уровень избирательности исследованных нейронов к различным вокализациям и к различным компонентам в пределах одного сигнала определяется, по-видимому, не только спектральной энергией сигнала или спектральной чувствительностью нейронов, но и модуляцией физических характеристик в пределах одного сигнала и реактивности нейронов на эти модуляции, что приводит к отражению в реакциях временной структуры сигналов. Возможно также, что определенная последовательность формантных посылок, отражающих биологическую значимость сигнала [3], а не просто их физические характеристики, определяют избирательность реагирования исследованных нейронов на некоторые из них. На это указывают также исследования реакций нейронов миндалины на сложные звуковые сигналы [20, 21]: наиболее эффективным для этих нейронов является сигнал «мяу», а не тональные посылки с той же частотой заполнения.

Обращают на себя внимание также следовые реакции нейронов неоэstriатума и ассоциативной коры на сложные звуковые сигналы. Возникновение реакции уже после прекращения сигнала и сохранение ее в течение длительного времени является характерной особенностью исследованных нейронов. Такие реакции, по мнению некоторых авторов [8], можно рассматривать как «следы» предшествующей деятельности и основу, необходимую для формирования адекватного поведения. Этот вопрос представляет большой интерес и требует специального исследования.

Полученные же данные о способности нейронов неоэstriатума кошки отражать особенности вокализационных сигналов и реагировать преимущественным образом на некоторые из них аналогичны результатам исследований нейронов ассоциативной коры и позволяют предположить, что неоэstriатум также может принимать участие в оценке биологически сложных звуковых сигналов.

Responses of neostriata were investigated in alert of producing signals and the Phase responses were observed spectral composition containing to long-term stimuli (1000-character reflecting the significant vocalizations and their active cortex neurons were observed.

A. A. Bogomoletz Institute of Academy of Sciences, Ukraine

1. Альтман Я. А. Локализация. — 176 с.
2. Арушанян Э. Б., Отеллик Г. С. Акустическая активность кошки в пазухе носа. — В кн.: Локализация и оценка акустической активности животных. — Журн. СССР, 1972, № 5.
3. Бару А. В. Слуховые центры кошки. — В кн.: Слуховые центры млекопитающих. — 192 с.
4. Батуев А. С. Гипотеза о механизме локализации звука в кошке. — В кн.: Локализация и оценка акустической активности животных. — Журн. СССР, 1972, № 5.
5. Батуев А. С., Василевский А. С. Акустическая активность кошки в пазухе носа. — В кн.: Локализация и оценка акустической активности животных. — Журн. СССР, 1972, № 5.
6. Винценк Т. К., Кулас А. С. Акустическая активность кошки в пазухе носа. — В кн.: Познавание слуховых образов. — 1983, № 6, с. 737—741.
7. Груздев Г. М., Великая Е. А. Акустическая активность кошки в пазухе носа. — В кн.: Познавание слуховых образов. — 1983, № 6, с. 737—741.
8. Гершунин Г. В. Слух и биология кошки. — В кн.: Слух и биология млекопитающих. — 1977, с. 69—77.
9. Ильинич В. Д. Биоакустика кошки. — В кн.: Биоакустика млекопитающих. — 1983, № 6, с. 737—741.
10. Кулаков Г. А. Нейрофизиология акустических сигналов кошки. — В кн.: Акустическая активность кошки. — 1983, № 6, с. 122—133.
11. Кулаков Г. А., Каменская Н. А. Акустическая активность кошки. — В кн.: Акустическая активность кошки. — 1983, № 6, с. 122—133.
12. Черкес В. А., Зелинская Е. А. Акустическая активность кошки. — В кн.: Акустическая активность кошки. — 1983, № 6, с. 122—133.
13. Albe-Fessard D., Rocha-Miranda J. C. Auditory response of cat brain to sound. — Electroencephalogr. Clin. Neurophysiol., 1978, 42, 1078—1085.
14. Amassian V. E. Studies of single unit analysis. — J. Neurophysiol., 1978, 42, 1078—1085.
15. Creutzfeld O., Hellweg F. Response to complex auditory stimuli. — J. Neurophysiol., 1978, 42, 1078—1085.
16. Irvine D. R. F., Huefner H. Specific area of cat cerebral cortex. — J. Neurophysiol., 1978, 42, 1078—1085.
17. Kunzle H. An autoradiographic study of the frontal cortex and adjacent prefrontal regions of the cat. — J. Neurophysiol., 1978, 42, 1078—1085.
18. Newman I. D., Sinasly D. J. The monkey frontal cortex. — J. Neurophysiol., 1978, 42, 1078—1085.
19. Newman I. D., Symmes D. J. The monkey frontal cortex. — J. Neurophysiol., 1978, 42, 1078—1085.
20. O'Keefe J., Bouma H. Comprehension of speech by freely moving cat. — J. Neurophysiol., 1978, 42, 1078—1085.
21. Sawa M., Delgado M. R. A. Neurophysiology and Clinical Neurology of the Cat. — J. Neurophysiol., 1978, 42, 1078—1085.
22. Sedwick E. M., Williams F. J. Peripheral stimulation of the cat's auditory system. — J. Neurophysiol., 1978, 42, 1078—1085.

Институт физиологии им. А. А. Богомолца АН УССР, Киев

Физиол. журн., 1985, т. 31, № 4

RESPONSES OF NEOSTRIATUM NEURONS
TO COMPLICATED SOUND SIGNALS

Responses of neostriatum neurons to various biologically significant vocalizations were investigated in alert cats. A definite correlation was found between the structure of producing signals and the character of neostriatum neuron responses to these signals. Phase responses were observed, mainly, to short-term (about 800 ms) stimuli whose spectral composition contained components with frequency more than 2 kHz. Responses to long-term stimuli (1000-2500 ms) with lower frequency components were of tonic character reflecting the signal form. Certain selectivity of neostriatum responses to various vocalizations and their resemblance with responses to the same signals of associative cortex neurons were observed.

A. A. Bogomoletz Institute of Physiology,
Academy of Sciences, Ukrainian SSR, Kiev

Список литературы

1. Альтман Я. А. Локализация движущегося источника звука. Л.: Наука, 1983.—176 с.
2. Арушанян Э. Б., Отеллин В. А. Хвостатое ядро.—Л.: Наука, 1976.—323 с.
3. Бару А. В. Слуховые центры и опознание звуковых сигналов.—Л.: Наука, 1978.—192 с.
4. Батуев А. С. Гипотеза о центральной организации сенсорной функции животных.—В кн.: Локализация и организация церебральных функций. М.: Наука, 1978, с. 15.
5. Батуев А. С., Васильевский Н. Н., Зименко Н. Б. и др. Простой способ регистрации нейрональной активности головного мозга бодрствующих животных.—Физiol. журн. СССР, 1972, 58, № 11, с. 1774—1776.
6. Винцок Т. К., Куляс А. И. Универсальная программа анализа речи в реальном диапазоне времени.—В кн.: Материалы Всесоюз. шк.-семинара «Автоматическое распознавание слуховых образов» (АРСО-10). Тбилиси : Мецниереба, 1978, с. 182—184.
7. Груздев Г. М., Великая Р. Р. Некоторые особенности фоновой и вызванной звуковыми щелчками активности нейронов хвостатого ядра кошки.—Физiol. журн., 1983, 29, № 6, с. 737—741.
8. Гершунин Г. В. Слух и биологическое звукоизлучение.—Вестн. АН СССР, 1968, № 7, с. 69—77.
9. Ильичев В. Д. Биоакустика.—М.: Наука, 1975.—255 с.
10. Куликов Г. А. Нейрофизиологические основы определения биологической значимости акустических сигналов.—Вестн. Ленингр. ун-та, 1981, № 21, с. 80—87.
11. Куликов Г. А., Каменская В. Г., Футер Л. И., Соколова Н. Н. Выделение биологически значимых признаков акустических стимулов во фронтальной области коры мозга кошки.—В кн.: Звуковая коммуникация, эхолокация и слух. Л.: Наука, 1980, с. 122—133.
12. Черкес В. А., Зелинская В. С. Сенсорные свойства нейронов неспецифической структуры мозга.—Нейрофизиология, 1984, 16, № 3, с. 384—394.
13. Albe-Fessard D., Rocha-Miranda C., Osswaldo-Cruz E. Architée evoquée dans le noyau caudé du chat en réponse à des types d'avers d'différences. II. Etude microphysiologique.—Electroencephalog. and Clin. Neurophysiol., 1960, 12, N 3, p. 649—661.
14. Amassian V. E. Studies on organization of somesthetic association area including a single unit analysis.—J. Neurophysiol., 1954, 17, N 1, p. 39—58.
15. Creutzfeld O., Hellweg F. C., Schreiner Chr. Thalamocortical transformation of response to complex auditory stimuli.—Exp. Brain Res., 1980, 39, N 1, p. 87—107.
16. Irvine D. R. F., Huefner H. Acoustic response characteristics of neurons in nonspécific area of cat cerebral cortex.—J. Neurophysiol., 1979, 42, N 1, p. 107—122.
17. Kunzle H. An autoradiographic analysis of the efferent connections from premotor and adjacent prefrontal region (area 6 and 9) in Macaca Fascicularis.—Brain Behav. and Evol., 1978, 15, N 3, p. 185—234.
18. Newman I. D., Sinasley D. F. Single unit analysis of auditory processing in Squrell monkey frontal cortex.—Exp. Brain Res., 1976, 25, N 2, p. 169—181.
19. Newman I. D., Symmes D. Feature detection in Squrell monkey cortex.—Ibid., 1979, 34, N 2, p. 140—145.
20. O'Keefe I., Bouma H. Complex sensory properties of certain amygdala units in the freely moving cat.—Exp. Neurol., 1969, 23, N 3, p. 384—398.
21. Sawa M., Delgado M. R. Amygdala unitary activity in the unrestrained cat.—Electroencephalog. and Clin. Neurophysiol., 1963, 15, N 4, p. 637—650.
22. Sedwick E. M., Williams F. D. The response of single units in the caudate nucleus to peripheral stimulation.—J. Physiol., 1967, 189, N 2, p. 281—298.

Ин-т физиологии им. А. А. Богомольца
АН УССР, Киев

Поступила 06.07.84